

سنگ‌شناسی، زمین‌شیمی و خاستگاه زمین ساختی توده نفوذی کانسار آهن همیرد، شمال شرق سمنان

مریم حاجی بهرامی، نادر تقی‌پور^{*}، قاسم قربانی

دانشکده علوم زمین، دانشگاه دامغان، دامغان، ایران

(دریافت مقاله: ۹۵/۱۲/۱۴، نسخه نهایی: ۹۶/۴/۱۰)

چکیده: کانسار آهن همیرد در ۷۴ کیلومتری شمال شرق سمنان و در منطقه جام واقع شده است. این منطقه در شمال پهنه ایران مرکزی قرار دارد. رخنمون‌های سنگی این منطقه شامل مجموعه سنگ‌های آتشفسانی با ترکیب آندزیت تا آندزیت بازالت، توف و آذرآواری‌های با سن ائوسن میانی هستند که توده‌های نفوذی مونزونیتی و مونزودیوریتی در آنها تزریق شده‌اند. کانی‌زایی آهن در محل تماس توده نفوذی با سنگ‌های آتشفسانی رخ داده است. حضور گسترده هماتیت همراه با مقادیر فرعی مگنتیت، پیریت، باریت و کلسیت از ویژگی‌های مهم کانی‌زایی در کانسار آهن همیرد است. کانی‌زایی به شکل رگه‌ای و عدسی‌هایی با ترکیب هماتیت و به مقدار کمتر مگنتیت است. بر اساس ویژگی‌های زمین‌شیمیایی، ماهیت ماغمای تشکیل‌دهنده توده شبه آتشفسانی همیرد، آهکی-قلیابی و آهکی-قلیابی غنی از پتاسیم بوده و از نوع متا‌آلومین متعلق به گرانیت‌ویدهای نوع I قوس‌های آتشفسانی است. غنی‌شدگی عناصر LIL نسبت به عناصر HFS و بی‌هنجاری منفی Nb و Ti و قرار گرفتن آن‌ها در گستره VAG نشان می‌دهد که توده نفوذی شبه آتشفسانی همیرد در یک محیط زمین‌ساختی ماغمایی قوس آتشفسانی وابسته به فروزانش تشکیل شده است.

واژه‌های کلیدی: سنگ‌شناسی؛ زمین‌شیمی؛ قوس آتشفسانی؛ کانسار آهن همیرد؛ سمنان.

ماگمایی و سیالات جوی را به عنوان خاستگاه محلول‌های گرمابی بیان کردند. هدف از این پژوهش، بررسی روابط سنگ‌شناسی، کانی‌زایی و ویژگی زمین‌شیمیایی توده نفوذی کانسار آهن همیرد به منظور تعیین ماهیت زمین‌شیمیایی و خاستگاه زمین‌ساختی توده نفوذی این کانسار است.

روش بررسی

جهت بررسی سنگ‌نگاری و کانی‌نگاری توده نفوذی و کانی‌زایی، تعداد ۳۶ مقطع نازک و ۱۲ مقطع صیقلی مورد بررسی قرار گرفت. به منظور بررسی زمین‌شیمیایی سنگ‌های منطقه همیرد، تعداد ۴۰ نمونه طی عملیات صحرایی از توده نفوذی شبه آتشفسانی منطقه برداشت شد.

مقدمه در استان سمنان یک کمربند کانی‌زایی آهن وجود دارد که از شمال سمنان شروع می‌شود و تا جنوب شهرود ادامه دارد. کانسار آهن همیرد در بین مختصات $36^{\circ} 42' - 36^{\circ} 43'$ طول شرقی و $53^{\circ} 48' - 53^{\circ} 50'$ عرض شمالی و در ارتفاع متوسط ۱۹۰۰ متر از سطح دریا واقع است. این کانسار دارای آهن با عیار متوسط ۴۵ تا ۵۰ درصد است. از اطلاعات موجود در این منطقه، نقشه زمین‌شناسی $1:100000$ و $1:5000$ است. همچنین حاجی بهرامی و همکاران [۱] با بررسی دامان‌جی میانبارهای سیال و ایزوتوب‌های پایدار اکسیژن، کربن و گوگرد کانسار آهن همیرد، آمیزه‌ای از سیالات

*نویسنده مسئول، تلفن و فکس: ۰۲۳-۳۵۲۲۰۰۹۱، پست الکترونیکی: taghipour@du.ac.ir

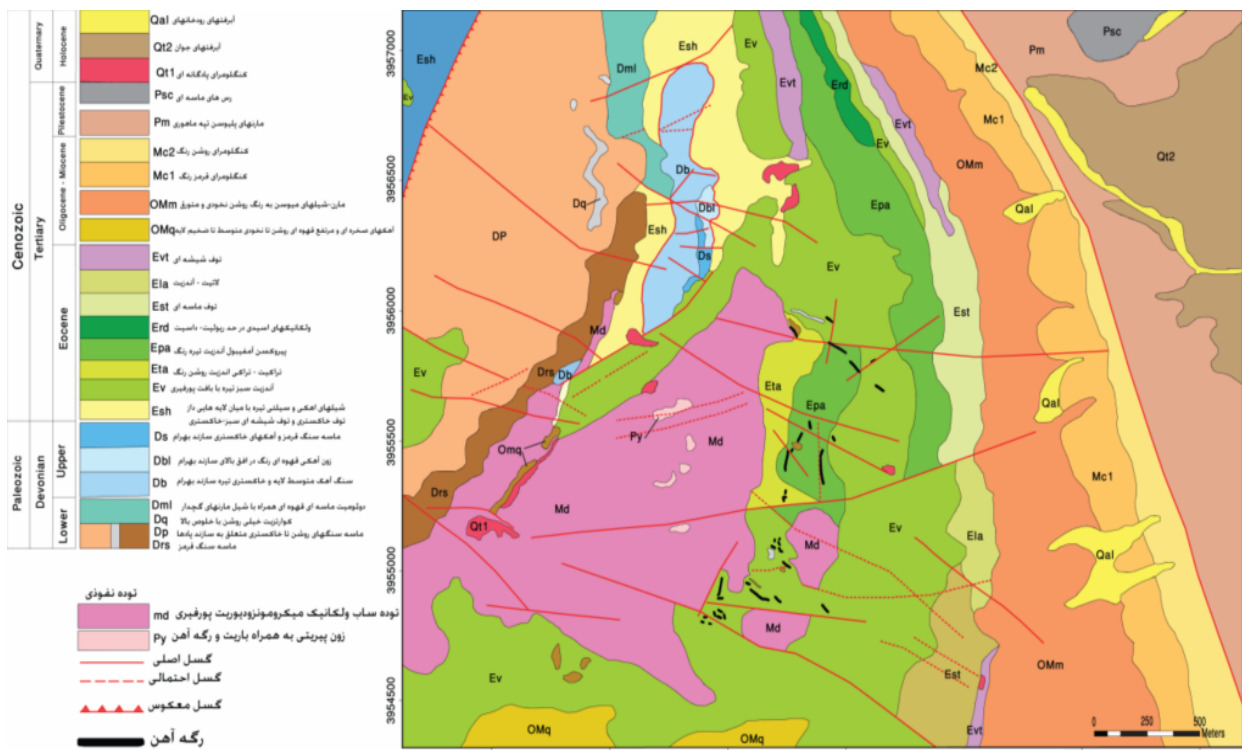
آتشفشاری در طول تاریخ زمین‌شناسی ایران محسوب می‌شود [۲]. طبق نقشه زمین‌شناسی ۱:۵۰۰۰۰ ۱۶ نمونه که مورد بررسی [۳]، (شکل ۱)، رخنمون‌های سنگی ناحیه شامل: ۱- مجموعه کنگلومرایی و آهکی به سن پالئوسن- ائوسن پسین- ۲- توف و شیل همراه با میان لایه‌هایی از سنگ‌های آتشفشاری و ماسه سنگی ۳- مارن، ماسه‌سنگ و کنگلومرا به سن ائوسن میانی و ۴- تشکیلات آهن‌دار مجموعه آتشفشاری- شبه آتشفشاری و توفی- شیلی سازند کرج به سن ائوسن است.

در کانسار آهن همیرد، توده نفوذی شبه آتشفشاری با ترکیب عمده میکرومونزودیوریت به درون سنگ‌های آهکی، آذرآواری و آتشفشاری (آندرزیت تا آندرزیت بازالت) نفوذ کرده و سبب جایگزینی ماده معدنی در سنگ میزبان شده است (شکل ۲ الف و ب). ماده معدنی در کانسار آهن همیرد بیشتر به صورت عدسی‌های کوچک و رگه‌های هماتیتی درون سنگ‌های آتشفشاری (معادل با سازند کرج به سن ائوسن میانی) جای گرفته است. کانه‌زایی در این منطقه از سیستم گسلی پیروی کرده و با امتداد شمال غربی- جنوب شرقی در قسمت بالایی توده نفوذی شبه آتشفشاری رخ داده است.

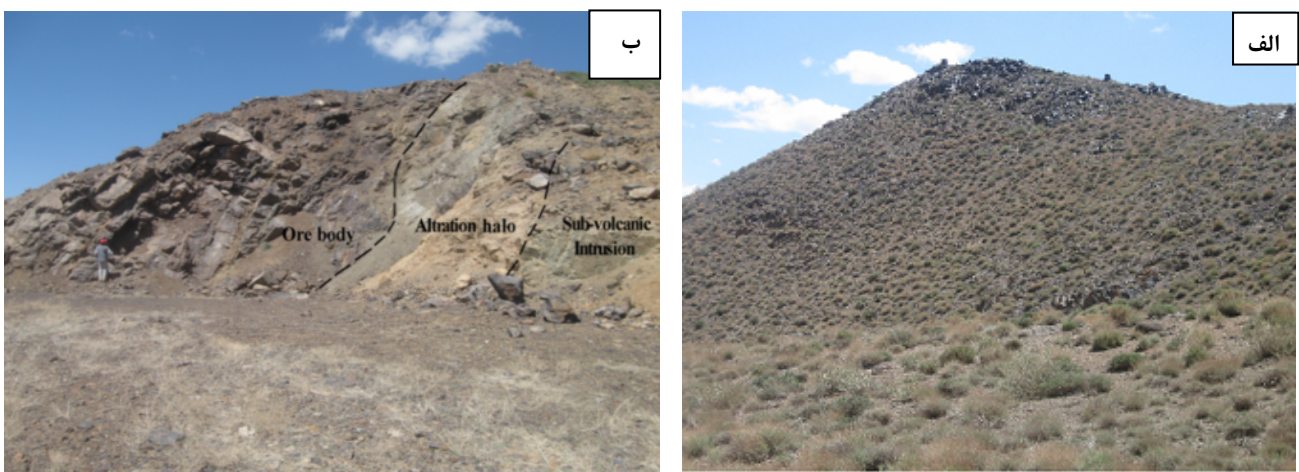
پس از تهیه مقاطع نازک و بررسی آن‌ها، تعداد ۱۶ نمونه که دارای کمترین میزان دگرگانی و بیشترین تنوع ترکیبی بودند، انتخاب و آماده سازی شدند. سپس نمونه‌ها از طریق تجزیه ICP-MS عنصری با ذوب لیتیم متaborات و به روش‌های ICP-AES (جهت تعیین مقدار عناصر فرعی و کمیاب) و ALS (جهت تعیین مقدار اکسیدهای اصلی) در آزمایشگاه Chemex کشور کانادا بررسی شدند.

زمین‌شناسی عمومی منطقه

کانسار آهن همیرد در منطقه جام واقع شده است که در این ناحیه می‌توان دو واحد زمین‌ساختی مختلف را تشخیص داد. گسل عطاری مرز جدایکنده کوههای البرز از ایران مرکزی است و با شیب حدود ۸۰ درجه به سمت جنوب، این دو بخش را از هم تفکیک می‌کند [۲]. بر اساس این منطقه‌بندی، منطقه مورد بررسی در مرز بین دو منطقه نام برده و از نظر مکانی در پهنه ایران مرکزی قرار دارد. فعالیت‌های آتشفشاری در منطقه همیرد محدود به ائوسن میانی بوده و شامل گسترش وسیعی از گدازه‌های ریولیتی تا بازالتی و آذرآواری آندرزیتی تا داسیتی است. این فرایند گسترده‌ترین و شدیدترین فعالیت



شکل ۱ نقشه زمین‌شناسی ۱:۵۰۰۰۰ معدن آهن همیرد [۴].



شکل ۲ الف) رخنمون توده نفوذی شبه آتشفشنای در نزدیکی کانسار آهن همیرد (دید به سمت جنوب). ب) رخداد دگرسانی شدید و کانه‌زایی در مرز توده نفوذی شبه آتشفشنای (دید به سمت شمال).

سازی شده در منطقه بوده و در نمونه دستی دارای رنگ سبز تا قهوه‌ای هستند. درشت بلورها بخش اندکی از این سنگ‌ها را تشکیل می‌دهند و شامل پلاژیوکلاز، اپیدوت، آپاتیت، کوارتز، سریسیت، کانی‌های رسی و اکسیدهای آهن هستند. خمیره بیشتر متشكل از خاکستر آتشفشنای است و کانی‌های موجود در زمینه بیشتر به سریسیت و کانی‌های آرژیلیتی تبدیل شده‌اند (شکل ۳ پ، جدول ۱). رگچه‌های کوارتزی دارای بلورهای شکل‌دار کوارتز در زمینه‌ای از نوع لیتیک (قطعات سنگی) هستند.

توده نفوذی شبه آتشفشنای
در کانسار آهن همیرد یک توده شبه آتشفشنای با ترکیب مونزوونیت و مونزوودیوریت پورفیری درون مجموعه آتشفشنای-رسوبی ائوسن تزریق شده است و به صورت پراکنده در سرتاسر منطقه مورد بررسی دیده می‌شود. این سنگ‌ها، به رنگ خاکستری تیره تا روشن دیده می‌شوند و از نظر اندازه بلوری، متوسط تا ریزبلور هستند. مونزوودیوریتها در نمونه دستی نسبت به مونزوونیتها تیره‌تر و دارای بافت پورفیری هستند. توده مونزوونیتی و مونزوودیوریتی با دگرسانی شدیدی همراه بوده و در مقاطع میکروسکوپیکی دارای بافت دانه‌ای، ریزدانه‌ای و پورفیری با خمیره ریزدانه، متشكل از کانی‌های پلاژیوکلاز، فلدسپار قلیایی، کانی‌های تیره، کلریت، بیوتیت و کربنات است (شکل‌های ۳ ث و ج، جدول ۱).

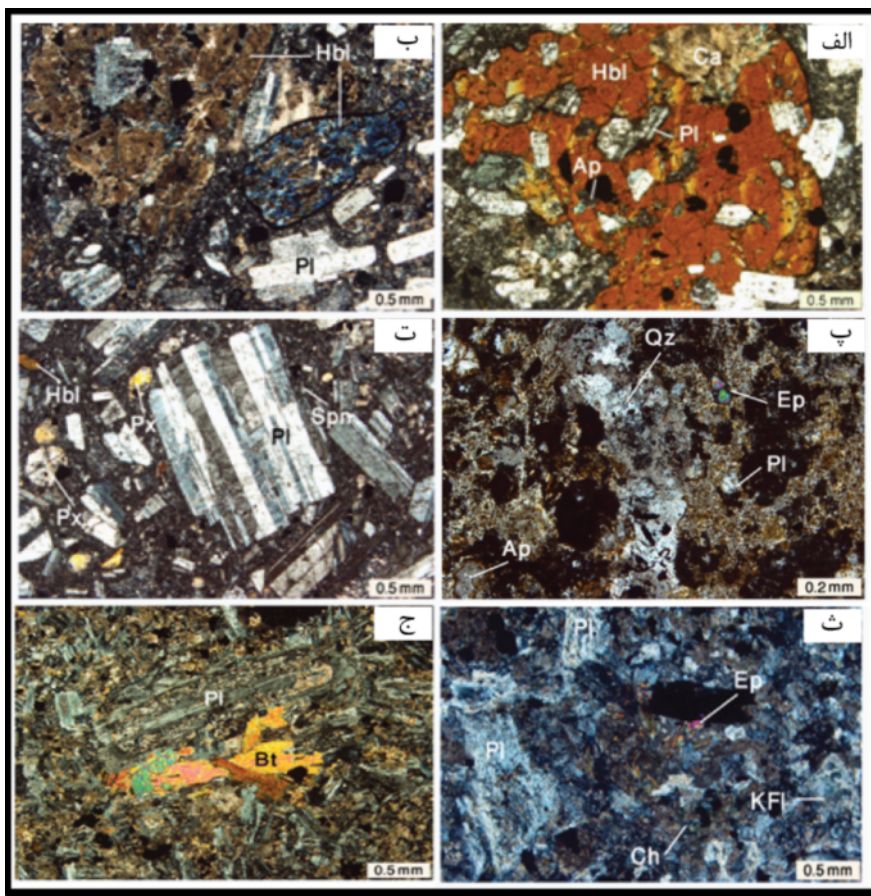
سنگ نگاری

با توجه به بررسی‌های سنگ‌شناسی و میکروسکوپی صورت گرفته در منطقه، واحدهای سنگی شامل سنگ‌های آتشفشنای، آتشفشنای-رسوبی و توده نفوذی شبه آتشفشنای می‌باشد. توده نفوذی در منطقه مورد بررسی از وسعت سطحی بسیار کمی برخوردار است. این سنگ‌ها از نظر مکانی در ارتباط نزدیک با کانه‌زایی در کانسار آهن همیرد هستند.

سنگ‌های آتشفشنای و آتشفشنای-رسوبی

این سنگ‌ها از فراوانترین سنگ‌های منطقه بوده و شامل آندزیت، آندزیت بازالتی و توف سنگی بلوری به سن ائوسن هستند. سنگ‌های آتشفشنای-رسوبی ائوسن از نظر سنگ‌شناسی، رنگ، شدت هوازدگی و گسترش در گستره کانسار آندزیتی و آندزیتی بازالتی سبز تیره است که بیشترین گسترش را در میان سنگ‌های آتشفشنای ائوسن دارند. این واحد به عنوان سنگ میزبان اصلی کانی‌سازی آهن است که توده شبه آتشفشنای مونزوودیوریت در آن نفوذ کرده است. سنگ‌های آندزیتی و آندزیتی بازالتی دارای بافت پورفیری با زمینه ریزبلوری و ریزسنگی هستند که پلاژیوکلاز، هورنبلند و پیروکسن با فراوانی متفاوت از درشت بلورهای غالب در این سنگ‌ها هستند (شکل‌های ۳ الف، ب و ت، جدول ۱).

توفها از دیگر سنگ‌هایی هستند که در کانسار همیرد رخنمون زیادی پیدا کرده‌اند و میزبان بعضی از رگه‌های کانه-

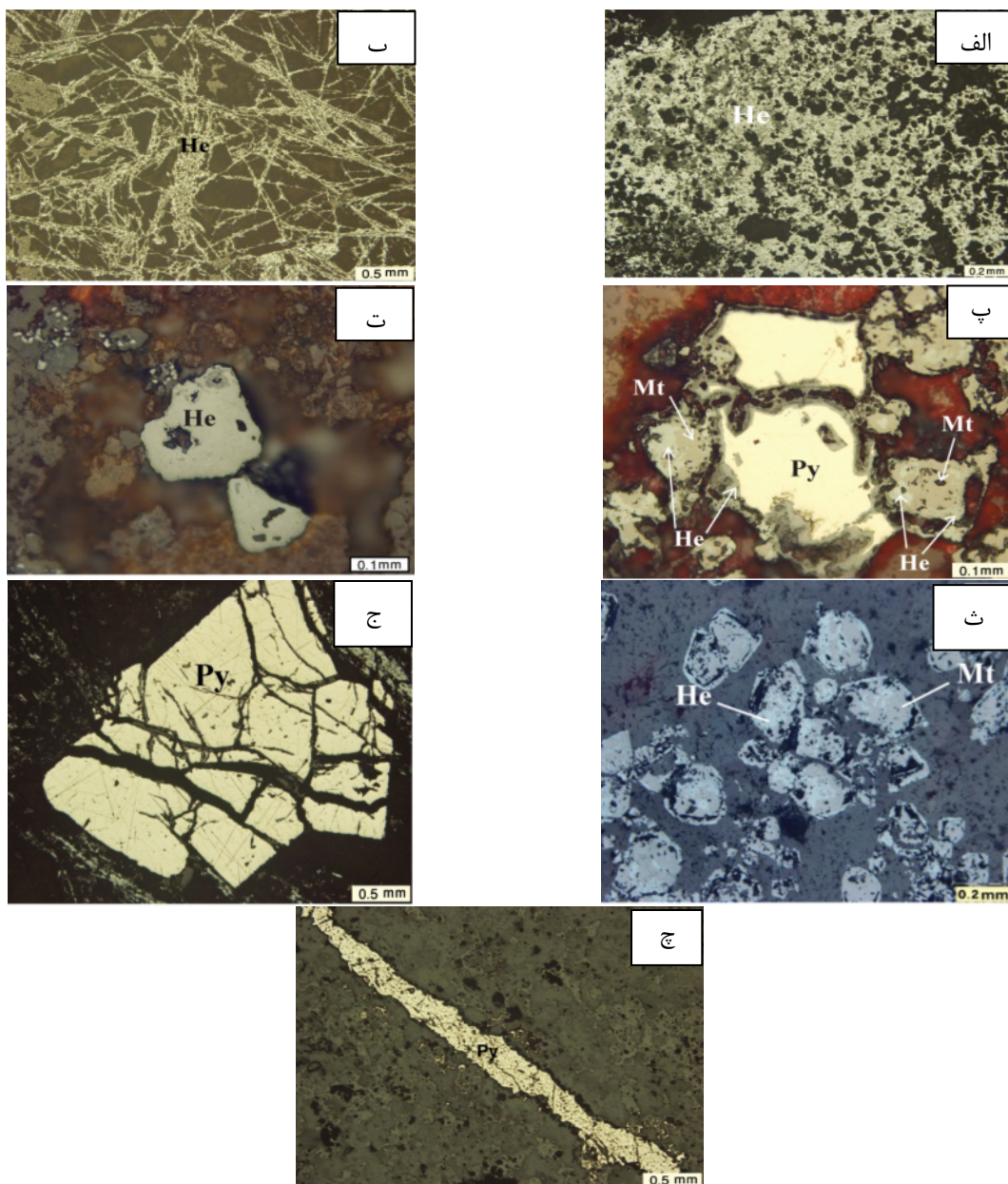


شکل ۳ تصاویر میکروسکوپی از سنگ‌های آتشفشاری و نفوذی کانسار آهن همیرد: (الف) سنگ آندزیت بازالت درشت بلور دارای بافت خال خال که از بلورهای پلازیوکلاز، آپاتیت، کلسیت و کانی کدر به صورت ادخال تشکیل شده است. (ب) هورنبلند با حاشیه سوخته در یک سنگ آندزیتی که توسط کربنات و کلریت جایگزین شده است. (پ) توف سنگی بلوری یک نمونه چندrijختی (ت) پلازیوکلاز با ماکل پلی سینتیک به همراه پیروکسن، هورنبلند و کانی فرعی اسفن در یک سنگ آندزیت بازالت. (ث) تشکیل اپیدوت‌های ثانویه و کلریت در اثر دگرسانی گرمابی پلازیوکلازها در یک سنگ مونزونیتی. (ج) بلورهای صفحه‌ای و نیمه شکل دار بیوتیت در یک مونزودیوریت پورفیری. [۵]: پلازیوکلاز؛ Pl، پیروکسن؛ Px، بیوتیت؛ Bt، هورنبلند؛ Hbl، کلریت؛ Ch، اپیدوت؛ Ep، فلدسپار پتاسیم؛ KFl، آپاتیت؛ Ap، اسفن؛ Spn. علائم اختصاری برگرفته از مرجع [۶].

جدول ۱ ویژگی‌های بافت و کانی‌شناسی سنگ‌های مربوط به کانسار آهن همیرد.

نوع سنگ	بافت سنگ	درشت بلور شاخص	دیگر موارد
آندزیت	دارای بافت پورفیری با زمینه نهان بلوری تقریباً ۵۰ تا ۵۵ درصد درشت بلور	پلازیوکلاز (۲۰-۲۵٪) و ۰.۵ تا ۱.۵ mm، هورنبلند	سنگ میزان، اغلب کانی آپاتیت حضور دارد. هورنبلند با حاشیه سوخته و حفظ قالب از کلریت پر شده است. پیروکسن‌ها در بیشتر موارد به کلسیت و کربنات‌ها دگرسان شده‌اند.
آندزیت بازالت	بافت پورفیری با زمینه شیشه‌ای، ریزسنگی و نهان بلوری بافت خال خال هورنبلند و گلومرپورفیری	پلازیوکلاز (۱۵-۲۰٪) و ۰.۱ تا ۰.۱۵ mm میلی متر، هورنبلند (۱۰-۱۵٪) و ۰.۱ تا ۰.۱۵ میلی متر، پیروکسن (۱۰-۱۵٪) و ۰.۱ تا ۰.۲ میلی متر و به مقدار اندک کوارتز	سنگ میزان کانی‌زایی است
لاپیلی کریستال توف	بافت آذرآواری رسی و اکسیدهای آهن	پلازیوکلاز، اپیدوت، آپاتیت، کوارتز، سریست، کانی‌های رسی و اکسیدهای آهن	سنگ میزان کانی‌زایی است
مونزونیت	بافت دانه ای و ریزدانه ای زمینه دانه ریز و مشکل از کانی‌های پلازیوکلاز، فلدسپار قلایی، کانی‌های کدر، کلریت و کربنات‌ها	پلازیوکلاز (۳۰-۳۵٪) و ۰.۱ تا ۰.۶ میلی متر، فلدسپار قلایی (۳۰-۳۵٪) و >۱ میلی متر، کانی‌های فرومینزین به مقدار جزئی	به درون سنگ‌های آتشفشاری-آتشفشاری رسوی (آندزیت و آندزیت بازالت‌ها و توف) نفوذ کرده است و کانی‌زایی رخ داده است.
مونزودیوریت پورفیری	بافت پورفیری با زمینه ریز دانه ای از پلازیوکلاز، فلدسپار قلایی، پیروکسن و کربنات	پلازیوکلاز (۶۰-۶۵٪) و ۰.۱ تا ۰.۸ میلی متر، پیروکسن (۵-۱۰٪) و ۰.۲ تا ۱۰ میلی متر، بیوتیت (۲-۳٪)، هورنبلند (۲-۳٪)	با کانی‌زایی و دگرسانی شدید همراه است.

گریزندگی اکسیژن باید افزایش یابد. برای این منظور، آب‌های جوی اکسیدان به عنوان بهترین منبع خارجی تامین‌کننده اکسیژن، با چرخش در بخش‌های بالای ذخیره می‌توانند کانسار را اکسید کنند [۸,۷]. هماتیت موجود در کانسار همیرد، هم خاستگاه اولیه دارد و هم به صورت ثانویه یافت می‌شود که این دو را با توجه به نمونه‌های دستی و بررسی‌های میکروسکوپی می‌توان به دو نسل تقسیم کرد: هماتیت نسل اول: به صورت سیمانی قطعات سنگ درونگیر را به هم متصل کرده است و دارای بافت انتشاری است (شکل ۴ الف).



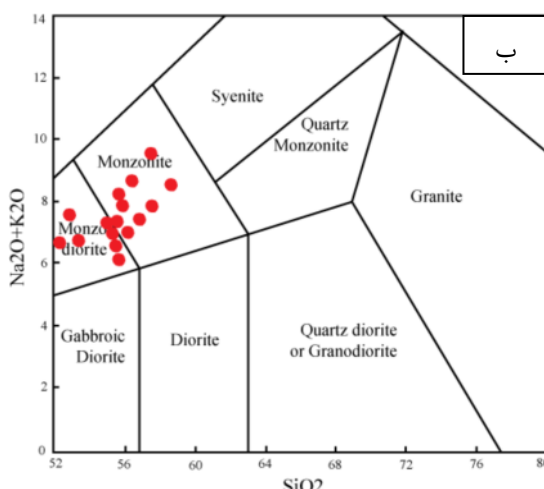
شکل ۴ الف) بافت انتشاری در هماتیت نسل اول. ب) بافت کلوفرمی در هماتیت نسل دوم. پ) تبدیل پیریت و مگنتیت به هماتیت. ت) جانشینی و هماتیت جانشین شده در قالب پیریت. ث) پدیده مارتیتی شدن و تبدیل مگنتیت و پیریت به هماتیت. ج) بافت تنفس آواری و برشی در پیریت. ج) بافت رگه‌ای پیریت. عالم اختصاری برگرفته از مرجع [۶].

کانه‌زایی
در کانسار آهن همیرد، کانه‌زایی هماتیت در مرز تماس توده نفوذی شبه‌آتشفشنای با سنگ میزبان صورت گرفته است. در این کانسار کانه اصلی هماتیت است و کانه‌های پیریت، مگنتیت، باریت و کلسیت به مقدار کمتر در آن یافت می‌شوند. توده هماتیتی کانسار همیرد از ابتدا به صورت مگنتیت و پیریت بوده که در نتیجه چرخش آبهای اکسیژن دار هماتیتی شده است. بر اساس نظر هاینزا و همکاران [۷]، برای تشکیل هماتیت در قسمت بالایی کانسار، حضور اکسیژن ضروری است و

کانی‌های سولفیدی است که به مقدار اندک (۱ تا ۲ درصد) با پیریت و هماتیت دیده می‌شود. بلورهای کالکوپیریت به صورت لکه‌های بی‌شکل و پراکنده درون کانی‌های باطله مشاهده می‌شود.

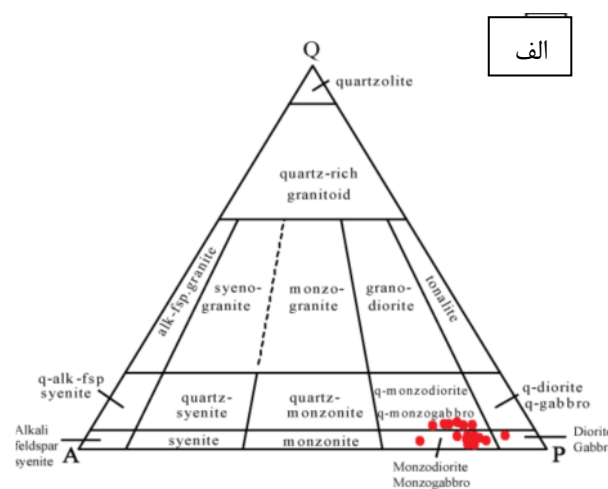
زمین‌شیمی

نتایج تجزیه شیمیایی توده نفوذی شبه‌آتشفسانی کانسار همیرد برای اکسیدهای عناصر اصلی و مقادیر کانی‌های هنجاری آن، به صورت درصد وزنی و برای عناصر کمیاب و خاکی نادر به صورت قسمت در میلیون، در جدول ۲ و ۳ آورده شده است. به منظور نامگذاری سنگ‌های شبه‌آتشفسانی موثر در تشکیل کانسار آهن همیرد از نمودارهای مراجع [۱۲، ۱۱] استفاده شده است (شکل‌های ۵ الف و ب). بر اساس این نمودارها، سنگ‌های شبه‌آتشفسانی منطقه‌ی مورد بررسی شامل مونزونیت، مونزونوگابرو و کوارتز‌مونزونوگابرویت هستند و بر نمودار AFM [۱۲]، در محدوده آهکی-قلیایی واقع شده‌اند (شکل ۶ الف). در نمودار تغییرات SiO_2 نسبت به K_2O [۱۳] نمونه‌های مورد بررسی به سری‌های آهکی قلیایی و آهکی قلیایی غنی از پتاسیم تعلق دارند (شکل ۶ ب). با توجه به نمودار A/CNK/A نسبت به A/NK [۱۴] (شکل ۶ ب)، نمونه‌های مورد بررسی از نظر شاخص اشباع از آلومین در گستره متألومین قرار گرفته‌اند. درجه اشباع از آلومین A/CNK کمتر از یک است که از مشخصه‌های مهم گرانیت‌های نوع I محاسب می‌شود [۱۵]. بنابراین سنگ‌های منطقه‌ی مورد بررسی از نظر خاستگاه ماغمایی مشابه با گرانیت‌های نوع I هستند [۱۶]، (شکل‌های ۷ و ث).



هماتیت نسل دوم؛ این نسل از هماتیت شامل دو نوع است: الف: هماتیت نوع اسپیکولاریت؛ که هماتیتها اولیه به صورت اشکال تیغه‌ای - سوزنی هستند (شکل ۴ ب). حضور این هماتیت دمای پایین فاز سیال را نشان می‌دهد. این نوع هماتیتها در بخش‌هایی تشکیل می‌شوند که گریزندگی اکسیژن در محیط بالا باشد. ب: هماتیت ثانویه؛ که این نوع هماتیت از اسکیدشدن پیریت و مگنتیت در شرایط سطحی تشکیل شده است. دارای بافت جانشینی است و به صورت پولکی و پراکنده و کلوفرمی دیده می‌شود (شکل‌های ۴ پ، ت و ث).

بلورهای مگنتیت دارای فراوانی بسیار کمتر از هماتیت هستند. مگنتیت به صورت ریزدانه با بافت پراکنده و انتشاری دیده می‌شود. مگنتیت در بسیاری از موارد دچار اکسایش شده و به هماتیت تبدیل شده است (شکل ۴ ث). مارتیتی شدن یک نوع بافت جانشینی است که در اثر سیالات اکسیدان رخ داده است [۹]. در اثر این فرآیند، پس از شکل‌گیری توده کانسنگی و همزمان با هجوم سیالات دمای پایین، مگنتیت به هماتیت تبدیل می‌شود [۱۰]. پیریت کانی سولفیدی غالب در کانسار آهن همیرد به صورت شکل‌دار و نیمه‌شکل‌دار است و مهمترین کانی همراه با مگنتیت و هماتیت به شمار می‌آید و در بعضی موارد از حجم قابل ملاحظه‌ای برخوردار است. در شکل ۴ ج، بافت پیریت به صورت نتش آواری و برشی دیده می‌شود. رایج-ترین بافت پیریت به صورت رگه‌ای در کانسنگ اکسیدی دیده می‌شود که تغییرات گریزندگی اکسیژن و فعالیت گوگرد را نشان می‌دهد (شکل‌های ۴ ج و ۲ ث). کالکوپیریت از دیگر



شکل ۵ (الف) موقعیت نمونه‌های کانسار همیرد در نمودار طبقه‌بندی [۱۰]. (ب) ردیبندی سنگ‌های شبه‌آتشفسانی کانسار آهن همیرد با استفاده از نمودار مرجع [۱۱].

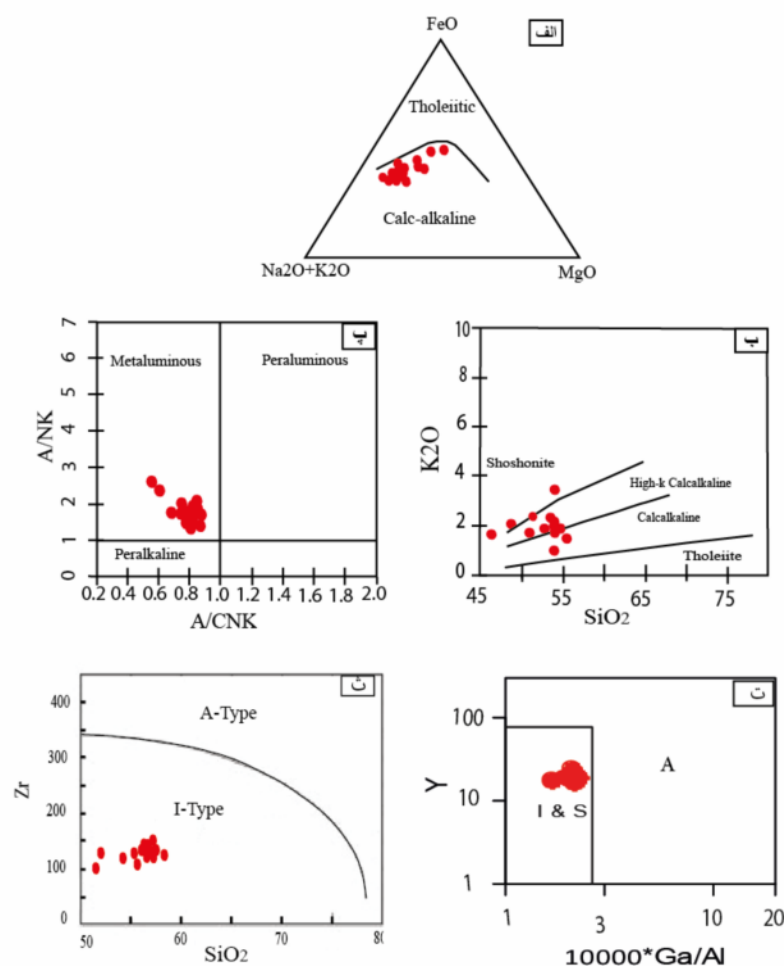
جدول ۲ نتایج تجزیه شیمیایی اکسیدهای اصلی و مقادیر کانی‌های هنجری توده نفوذی کانسار آهن همیرد (بر حسب درصد).

Sample	Hm1	Hm2	Hm3	Hm4	Hm5	Hm6	Hm7	Hm8	Hm9	Hm10	Hm11	Hm12	Hm13	Hm14	Hm15	Hm16
SiO ₂	۵۱	۵۲۸	۵۴۳	۵۴۴	۵۴۲	۵۳۹	۵۵۵	۵۳۷	۵۴۱	۴۶۲	۴۴۴	۴۸۷	۵۴۴	۵۱۴	۵۳۷	۵۴
TiO ₂	۱,۱۲	۰,۹۱	۰,۹۳	۰,۹۱	۰,۸۹	۰,۸	۰,۹۴	۰,۹۹	۱,۰۱	۱,۳۵	۱,۷۷	۰,۹۵	۰,۸۶	۱,۰۳	۰,۹۷	-
Al ₂ O ₃	۱۸,۵	۱۷,۳	۱۷,۷	۱۷,۷	۱۷,۵	۱۶,۸	۱۷,۸	۱۷,۲	۱۸,۱	۱۶,۱	۱۴,۹۵	۱۶,۲	۱۶,۳۵	۱۸,۲	۱۷,۰۵	۱۸
Fe ₂ O ₃	۶,۷۶	۷,۰۶	۷,۲۸	۶,۵۹	۶,۳۴	۷,۱۱	۶,۷۳	۶,۴۴	۶,۴۹	۸,۸۲	۹,۲۴	۸,۵۸	۶,۳۵	۷,۱۲	۶,۹۱	۷,۲۳
FeO _t	۶,۰۸	۶,۳۵	۶,۵۵	۵,۹۲	۵,۷	۶,۳۹	۶,۰۵	۵,۷۹	۵,۸۳	۷,۹۳	۸,۲۱	۷,۷	۵,۷۱	۶,۴	۶,۲۱	۶,۵
MnO	۰,۱۱	۰,۱۷	۰,۱۳	۰,۱	۰,۱۲	۰,۱۳	۰,۱۱	۰,۱۱	۰,۰۹	۰,۲۱	۰,۲۶	۰,۲۱	۰,۱	۰,۱۵	۰,۱	۰,۱۴
MgO	۱,۲۸	۲,۴۵	۳,۰۷	۱,۹۴	۱,۸۱	۲,۷۹	۱,۷۹	۱,۵۵	۱,۹	۳,۱۸	۴,۰۳۴	۲,۷۶	۱,۶۲	۲,۹۱	۱,۵۸	۳,۲۸
CaO	۸,۱۹	۷,۱۲	۶,۵۲	۵,۶۶	۵,۱۵	۴,۵۲	۴,۷۱	۶,۰۳	۶,۰۲	۱۱,۷	۱۲	۷,۵	۴,۹۱	۶,۶۳	۶,۹۵	۶,۹۱
Na ₂ O	۴,۷	۴,۸۷	۴,۵۳	۵,۰۳	۵,۷۳	۴,۷۱	۵,۰۳	۶,۰۴	۴,۵۶	۳,۰۶	۲,۶	۴,۴۶	۵,۷۵	۴,۸۷	۴,۴۶	۴,۳۲
K ₂ O	۱,۷۷	۱,۸۷	۱,۹۲	۲	۲,۱۶	۳,۵۱	۱,۴۹	۰,۹۵	۲,۱۳	۱,۶۹	۱,۴۲	۲,۱۲	۱,۹۶	۲,۳۷	۲,۳۴	۱,۷۳
P ₂ O ₅	۰,۵۸	۰,۳	۰,۳۱	۰,۲۹	۰,۲۸	۰,۲۴	۰,۴۲	۰,۴۱	۰,۲۷	۰,۳۸	۰,۳۶	۰,۴۳	۰,۲۶	۰,۲۷	۰,۲۵	۰,۲۴
LOI	۴,۷	۳,۴۱	۱,۹۹	۴,۳	۲,۸۹	۴,۵۲	۳,۹	۲,۲	۳,۵۹	۸,۸۵	۹,۷	۸,۸۹	۲,۳۹	۲,۹۱	۲,۴۹	۲,۸
Total	۹۸,۶	۹۸,۵	۹۹	۹۹,۲	۹۷,۴	۹۹,۳	۱۰,۱	۵۹,۹	۹۹	۱۰,۱	۱۰۰,۰	۹۹,۱	۹۵,۲	۹۸,۲	۹۷,۶	۱۰۰
A/CNK	۰,۷۵	۰,۷۵	۰,۸۳	۰,۸۵	۰,۸۳	۰,۸۵	۰,۷۹	۰,۷۸	۰,۸۳	۰,۵۹	۰,۵۴	۰,۶۹	۰,۷۹	۰,۸۰	۰,۷۷	۰,۸۳
A/NK	۱,۹۱	۱,۷۳	۱,۸۶	۱,۷	۱,۴۹	۱,۴۵	۱,۲۷	۱,۵۷	۱,۴۸	۲,۳۴	۲,۵۷	۱,۶۸	۱,۴۱	۱,۷۲	۱,۷۷	۲

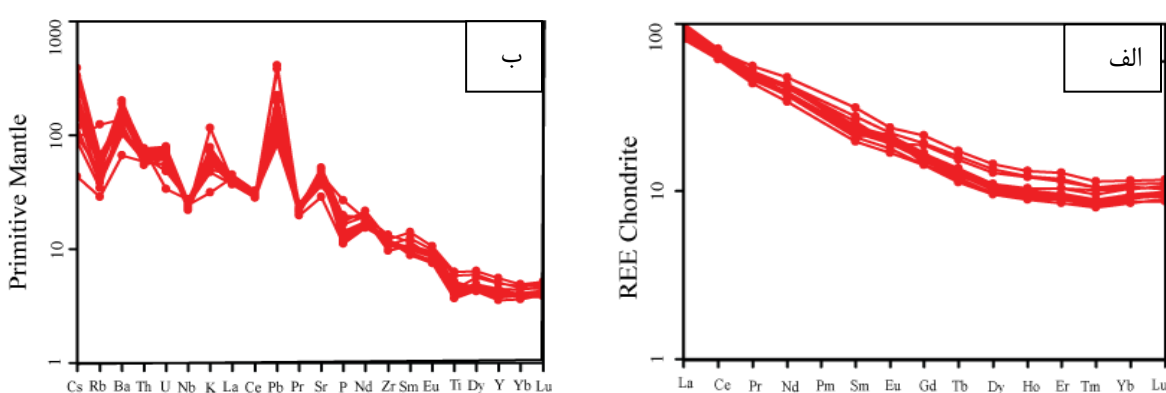
A/CNK: Al₂O₃/(CaO+Na₂O+K₂O); A/NK: Al₂O₃/(Na₂O+K₂O)

جدول ۳ نتایج تجزیه شیمیایی عناصر فرعی و خاکی نادر توده نفوذی کانسار آهن همیرد (بر حسب ppm).

Sample	Hm1	Hm2	Hm3	Hm4	Hm5	Hm6	Hm7	Hm8	Hm9	Hm10	Hm11	Hm12	Hm13	Hm14	Hm15	Hm16
Trace elements																
Ba	۸۷۷	۱۰۰	۱۰۲۵	۱۱۱۵	۱۱۵۰	۹۶۴	۱۰۶۰	۴۶۲	۱۰۹۰	۷۴۸	۷۰۷	۱۳۴۵	۱۰۵۵	۱۴۱۰	۱۰۶۰	۱۳۱۵
Ni	۰<	۰<	۰<	۰<	۰<	۷	۰<	۰<	۰<	۰	۰	۰<	۰<	۰<	۰<	۰<
Rb	۲۴,۲	۳۳,۴	۳۵,۱	۳۲,۶	۳۸,۷	۷۸,۶	۲۱,۶	۱۸,۳	۳۴,۱	۲۸,۴	۲۴,۱	۳۰	۳۲,۵	۳۷,۴	۴۴,۶	۳۱,۸
Co	۸	۱۴,۵	۱۵,۳	۱۱,۷	۱۲,۲	۱۵,۹	۹,۶	۱۷,۴	۹,۷	۱۷,۴	۱۸	۹,۶	۱۱,۷	۱۶,۴	۱۳,۲	۱۳,۴
Cs	۰,۹۳	۱,۷۴	۱,۲۸	۱,۰۵	۱,۲۶	۰,۷۵	۰,۷	۰,۳۴	۱,۴	۱,۹۱	۱,۲۹	۰,۷۸	۲,۵۴	۲,۳۹	۳,۰۹	۱,۳۹
V	۱۱۵	۱۲۳	۱۲۴	۱۲۰	۱۲۱	۱۳۰	۱۴۴	۱۴۰	۱۶۱	۲۲۱	۲۳۱	۱۱۹	۱۴۷	۱۷۱	۱۶۳	۱۵۲
Ag	۱<	۱<	۱<	۱<	۱<	۱<	۱<	۱<	۱<	۱<	۱<	۱<	۱<	۱<	۱<	۱<
Zr	۱۰,۸	۱۲۱	۱۲۷	۱۲۴	۱۳۰	۱۳۴	۱۳۰	۱۱۷	۱۳۴	۱۲۶	۱۲۲	۱۴۸	۱۳۰	۱۳۱	۱۳۰	۱۳۲
Sr	۹۳۸	۹۰,۲	۹۹,۳	۸۶۰	۹۵۳	۶۲۳	۱۱۰	۱۰,۸	۹۵۰	۹۸۲	۹۰,۱	۷۶۶	۹۶۲	۱۰,۶۰	۱۰,۵۵	۱۰,۲۰
Cr	۱<	۱	۱	۱	۱	۲۰	۱<	۱<	۱<	۲۰	۲۰	۱	۱<	۱	۱	۱
Nb	۱۷,۲	۱۵,۶	۱۶,۳	۱۶	۱۶,۴	۱۶,۲	۱۷,۹	۱۷,۵	۱۸,۷	۱۹,۳	۱۷,۷	۱۹,۴	۱۸,۳	۱۸,۶	۱۸,۴	۱۸,۹
Ga	۱۷,۲	۲۰,۳	۲۱,۴	۲۰,۹	۲۰,۸	۱۹,۸	۲۱,۱	۱۸,۸	۲۰	۱۹,۳	۱۸,۵	۱۹,۹	۱۴,۷	۱۸,۹	۲۰,۲	۲۰,۴
Cu	۱۰	۹	۱۰	۰<	۸	۸	۵	۱۲	۳۱	۲۷	۱۶	۶	۱۹	۱۸	۱۱	۰,۵۲
Zn	۱۶۹	۹۱	۱۲۷	۷۹	۸۹	۱۷۲	۱۰,۲	۶۰	۱۲۸	۱۶۹	۱۷۶	۲۴	۷۸	۱۲۵	۷۱	۱۹۹
Pb	۲۹	۸	۸	۶	۱۰	۷	۹	۱۰	۱۲	۱۴	۱۶	۰<	۱۰	۸	۱۰	۲۷
Hf	۲,۹	۳,۲	۳,۳	۳,۳	۳,۴	۱۳,۵	۳,۵	۳,۴	۳,۶	۳,۸	۳,۴	۳,۸	۳,۶	۳,۴	۳,۶	۲,۶
Ga	۱۷,۲	۲۰,۳	۲۱,۴	۲۰,۹	۲۰,۸	۱۹,۸	۲۱,۱	۱۸,۸	۲۰	۱۹,۳	۱۸,۵	۱۹,۹	۱۴,۷	۱۸,۹	۲۰,۲	۲۰,۴
Ce	۵۷,۴	۵۲,۸	۵۴,۷	۵۴	۴۵,۵	۴۹,۷	۵۷,۴	۵۵,۲	۵۳,۴	۵۵,۵	۵۰,۷	۵۴,۶	۵۲,۵	۵۲,۶	۵۲,۷	۴۹,۶
Th	۴,۷۵	۵,۲۹	۵,۰۷	۵,۸۷	۶,۰۲	۶,۰۷	۴,۹۹	۴,۹۴	۶,۳	۵,۵	۵,۰۵	۶,۴۴	۶,۲۱	۵,۹۳	۵,۹۹	۵,۹
Tl	۰<	۰<	۰<	۰<	۰<	۰<	۰<	۰<	۰<	۰<	۰<	۰<	۰<	۰<	۰<	۰<
Mo	۲<	۲<	۲<	۲<	۲<	۲<	۲<	۲<	۲<	۲<	۲<	۲<	۲<	۲<	۲<	۲<
Ta	۱/۲	۱	۱	۱	۱/۱	۱/۱	۱/۲	۱/۳	۱/۲	۱/۴	۱/۳	۱/۴	۱/۲	۱/۳	۱/۲	۱/۱
U	۱,۳۳	۱,۳۶	۴,۴۱	۱,۴۸	۱,۵۲	۱,۶۸	۱,۱۷	۱,۳۶	۱,۶۴	۱,۰۲	۱,۱۵	۰,۷۱	۱,۰۶	۱,۰۷	۱,۰۳	۱,۰
Ba/Nb	۰,۷	۶۴,۷	۶۲,۸	۹۶,۶	۷۰,۱	۵۹,۵	۵۹,۲	۵۶,۴	۵۸,۲	۴,۶	۳۹,۹	۶۹,۳	۵۷,۶	۷۰,۸	۵۷,۶	۷۷,۱
Rare earth elements																
La	۲۶,۱	۲۸,۴	۲۹,۴	۲۹,۸	۳۰,۲	۲۷,۲	۳۱	۲۹,۲	۲۸,۵	۲۷,۲	۲۰,۱	۲۸,۷	۲۹,۴	۲۷,۹	۲۸,۶	۲۵,۱
Ce	۵۲,۴	۵۷,۸	۵۴,۷	۵۴	۵۴,۵	۴۹,۷	۵۷,۴	۵۵,۲	۵۳,۴	۵۵,۵	۵۰,۷	۵۴,۶	۵۲,۵	۵۴,۶	۴۹,۶	۴۹,۶
Pr	۶,۰۹	۵۷,۹	۶,۰۱	۵۸,۲	۶,۰۱	۵۴	۶,۲۶	۶,۴	۵۹,۹	۶,۱۴	۶,۱۴	۶,۱	۵,۸۲	۵,۹۵	۵,۸۵	۵,۸۶
Nd	۲۴,۹	۲۲,۵	۲۳,۶	۲۲,۴	۲۳,۲	۲۰,۶	۲۵,۲	۲۵,۸	۲۳,۱	۲۸,۹	۲۶,۳	۲۵,۵	۲۲,۶	۲۳,۶	۲۲,۹	۲۲,۸
Sm	۴,۷۳	۴,۳۶	۴,۳۶	۴,۱۸	۴,۲۶	۳,۸۸	۴,۶	۴,۷۷	۴,۴۳	۶,۱۸	۵,۵	۵,۱۲	۴,۰۹	۴,۴۹	۴,۳۸	۴,۴۲
Eu	۱,۵۱	۱,۶	۱,۶۲	۱,۵۱	۱,۵۷	۱,۲۵	۱,۵۳	۱,۵۸	۱,۵	۱,۷۶	۱,۶۵	۱,۴۳	۱,۳۲	۱,۴۶	۱,۴۳	۱,۴۳
Gd	۴,۴	۴,۰۶	۴,۰۳	۳,۷۹	۳,۹۶	۳,۷۷	۴,۲۱	۴,۲۶	۴,۱۲	۵,۰۷	۵,۰۵	۴,۹۲	۳,۷۳	۴,۰۸	۴,۰۳	۳,۹۹
Tb	۰,۶۲	۰,۶	۰,۵۹	۰,۵۵	۰,۵۷	۰,۵۶	۰,۶۲	۰,۶۵	۰,۶	۰,۸۳	۰,۷۷	۰,۷۳	۰,۵۴	۰,۶۱	۰,۵۹	۰,۶
Dy	۳,۳۶	۳,۳۴	۳,۴۲	۳,۱	۳,۱۳	۳,۱۷	۳,۵۳	۳,۵۸	۳,۴۱	۴,۶۹	۴,۳۷	۴,۱۴	۳,۱	۳,۴۷	۳,۳۴	۳,۲۹
Ho	۰,۶۸	۰,۷۱	۰,۶۸	۰,۶۴	۰,۶۶	۰,۶۶	۰,۷۴	۰,۷۵	۰,۷	۰,۹۵	۰,۸۸	۰,۸۷	۰,۶۴	۰,۷۲	۰,۶۹	۰,۶۷
Er	۱,۹۷	۲,۰۱	۲,۰۲	۱,۷۸	۱,۸۷	۱,۹۴	۲,۲	۲,۲	۲,۰۱	۲,۷۱	۲,۵۱	۲,۴۱	۱,۸۹	۲,۰۳	۱,۹۸	۱,۹۳
Tm	۰,۲۷															



شکل ۶ (الف) نمودار مثلثی AFM برای تفکیک مجموعه توکلیتی از آهکی قلیایی [۱۲]. (ب) موقعیت نمونه‌های شبه آتشفسانی همیرد در نمودار K_2O نسبت به SiO_2 , برگرفته از [۱۳]. (پ) بررسی درجه اشباع شدگی آلومینیوم برای سنگ‌های شبه آتشفسانی همیرد با استفاده از نمودار مرجع [۱۵]. (ت) و (ث) نمودار تغییرات Y برای Ga/Al نسبت به SiO_2 [۱۶] و نمودار Zr برای جدا سازی گرانیت‌های I و A از یکدیگر [۱۶].



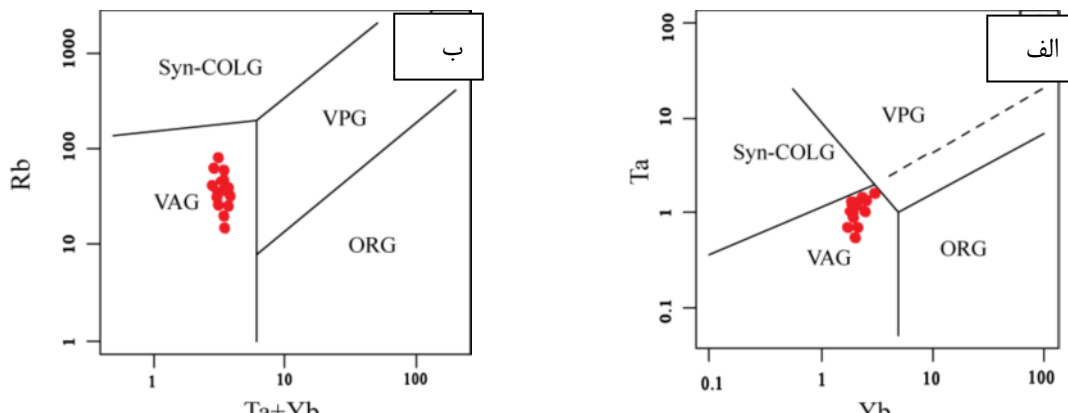
شکل ۷ (الف) نمودار عنکبوتی عناصر خاکی نادر نمونه‌های توده نفوذی کانسار همیرد بهنجار شده نسبت به کندریت [۱۷]. (ب) نمودار بهنجار شده عناصر فرعی و کمیاب نمونه‌های توده نفوذی کانسار همیرد بهنجار شده نسبت به گوشه‌های اولیه [۱۸].

زمین شیمیایی نشان می‌دهد که توده‌های مورد بررسی از گرانیت‌وئیدهای نوع I هستند. با توجه به نمودار شکل‌های ۸ الف و ب که جداکننده محیط‌های زمین‌ساختی مختلف گرانیت‌وئیدهای است، سنگ‌های منطقه در گستره وابسته به قوس آتشفسانی واقع شده‌اند. سنگ‌های شباهت‌آتشفسانی منطقه‌ی مورد بررسی از نظر عناصر HFS تهی بوده و نسبت عناصر Y/Nb در آن‌ها پایین است (۰/۰۷۷ تا ۰/۱۰۸). نسبت پایین Y/Nb (۰/۳۲ تا ۱/۷۲) از ویژگی سنگ‌هایی است که در قوس‌های ماقمایی وابسته به فرورانش تشکیل شده‌اند [۱۹]. در نمودار Y/Sr نسبت به [۲۰] که برای تمایز ماقمایی آداتیتی از قوس آتشفسانی معمولی ارائه شده است نمونه‌های مورد بررسی در محدوده قوس واقع می‌شوند (شکل ۹). مقدار بالای نسبت Ba/Nb (بیشتر از ۲۸) شاخص سنگ‌هایی است که در مناطق وابسته به فرورانش در کرانه فعال قاره‌ای تشکیل شده‌اند [۲۱، ۲۲]. این نسبت در نمونه‌های مورد بررسی بیش از ۲۸ و به طور متوسط حدود ۵۸/۵ است. در نمودارهای Rb/Ta+Yb، Rb/Ta+Yb نسبت به Ta+Yb ۵۸/۵ است. در نمودارهای Rb/Ta+Yb نسبت به Ta+Yb ۵۸/۵ است.

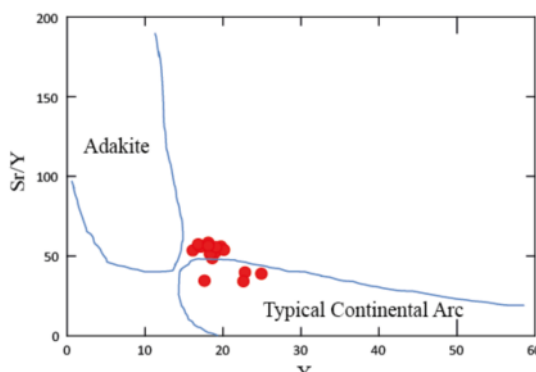
برای بررسی تغییرات عناصر کمیاب و نادر خاکی از نمودارهای عنکبوتی مراجع [۱۷، ۱۸]، استفاده شده است. در نمودارهای عنکبوتی چند عنصری بهنجار شده نسبت به کندریت [۱۷] (شکل ۷ الف)، الگوی عناصر خاکی نادر نمونه‌های مورد بررسی روندی موازی و یکسان نشان می‌دهند و در همه نمونه‌ها، عناصر LREE نسبت به عناصر HREE غنی‌شده‌گی بیشتری دارند. در شکل ۷ ب، الگوی عناصر فرعی و کمیاب نسبت به گوشه‌های اولیه بهنجار شده است [۱۸]. در این نمودار، عناصر LIL از جمله Cs, K, Ba, Sr, u, Pb شدگی بالاتری نسبت به دیگر عناصر دارند و عناصر Rb, Nb, Rb, Ti, Th, Ce, Pr تهی شدگی نشان می‌دهند.

بحث

محیط زمین ساختی و سنگ زایی
همراهی توده‌های نفوذی مورد بررسی با سنگ‌های آتشفسانی، طیف ترکیبی مونزوگابرو-دیوریت-مونزوودیوریت و مونزونیت، وجود اسفن اولیه، وجود پیروکسن، هورنبلند و بیوتیت در توده‌ها، عدم وجود کانی‌های دگرگونی چون گارنت و کوردیریت و ادخال آپاتیت در کانی‌های بیوتیت و هورنبلند و ویژگی‌های



شکل ۸ الف و ب) نمودار تفکیک‌کننده محیط زمین ساختی گرانیت‌وئیدها که نمونه‌های مورد بررسی در محدوده گرانیت‌وئیدهای وابسته به قوس آتشفسانی قرار می‌گیرند [۱۹].



شکل ۹ نمودار Y-Sr/Y برای تفکیک سنگ‌های آداتیتی از کمان آتشفسانی [۲۰].

بخش‌های مختلف پوسته، گوه گوشته‌ای و یا ترکیبی از این دو باشد. برای تعیین و تمایز خاستگاه پوسته‌ای و گوشته‌ای می‌توان عناصر کمیاب را بررسی کرد. برای مثال نسبت عناصر Nb/Ce و Nb/La در گوشته به ترتیب حدود $1,01$ ، $1,01$ و 1 و در پوسته به ترتیب برابر $0,23$ ، $0,23$ و $0,25$ است. در نمونه‌های مورد بررسی، این نسبت‌ها به ترتیب برابر حدود $0,53$ تا $0,7$ ، $0,29$ تا $0,35$ و $2,9$ تا $4,6$ هستند و بنابر این نشان‌دهنده خاستگاه پوسته‌ای برای توده مورد بررسی هستند. احتمالاً نفوذ ماقماهای بازی با خاستگاه گوشته‌ای موجود در منطقه باعث ذوب سنگ‌های پوسته‌ای و تشکیل سنگ‌های مورد بررسی شده‌اند. توده نفوذی و منطقه مورد بررسی بخش کوچکی از فعالیت ماقمایی دور خرد قاره شرق ایران مرکزی است و به احتمال زیاد پیامد فرورانش اقیانوس نئوتیس به زیر ایران مرکزی است.

برداشت

توده نفوذی نیمه آتشفشنای مورد بررسی از نظر ترکیبی شامل موزنزونیت و مونزودیوریت است. ماقمای تشکیل‌دهنده این توده شبه آتشفشنای از نوع آهکی قلیایی و آهکی قلیایی غنی از پتاسیم است و از نظر شاخص اشباع از آلومین در محدوده متالآلومین قرار می‌گیرد و از نوع گرانیت‌های نوع I است. به طور کلی تغییرات عناصر کمیاب و خاکی نادر در واحدهای مختلف شبه آتشفشنای کانسار همیرد روندی موازی و یکسان نشان می‌دهد که بیانگر ارتباط زایشی و خاستگاه مشترک آنهاست. بر اساس نمودارهای تمایز محیط زمین‌ساختی، توده شبه آتشفشنای کانسار آهن همیرد در یک محیط قوس آتشفشنای (VAG) جایگیری کرده است. کانه‌زایی آهن در مرز تماس توده نفوذی شبه آتشفشنای با سنگ میزبان صورت گرفته است و همایتیت اصلی‌ترین کانه کانسار است و همراه با آن کانه‌زایی کلسیت و باریت و کانه‌های سولفیدی (پیریت و کالکوپیریت به صورت بافت پراکنده و رگه‌ای) دیده می‌شوند.

نمودارهای عنکبوتی نمونه‌های مورد بررسی نیز از الگوی ماقمای آهکی قلیایی قوس‌های آتشفشنای قاره‌ای پیروی می‌کنند و مؤید این مسأله است. به طوری که بیهنجاری منفی Nb و P در این نمودارها از ویژگی‌های شاخص مناطق فرورانش هستند و یا آگشتگی با پوسته قاره‌ای را نشان می‌دهند [۲۴] به عقیده ویلسون [۲۴]، اگر یک مجموعه از سنگ‌های آذرین در اثر تحمل فرایندهای تبلور جدایشی با هم وابسته باشند، مقادیر عناصر کمیاب و نسبت‌های آن‌ها به طور یکسان و پیوسته تغییر می‌کند. یکنواخت بودن الگوی عناصر خاکی نادر سنگ‌های مورد بررسی نیز تأییدکننده این مطلب است. به طور کلی تشابه الگوی تغییرات عناصر خاکی نادر در واحدهای مختلف شبه آتشفشنای منطقه و تفاوت در میزان تمرکز این عناصر می‌تواند نشان دهنده ارتباط زایشی نمونه‌ها با هم و خاستگاه مشترک آنها باشد [۲۵]. عناصر خاکی نادر سبك (LREE) نسبت به عناصر خاکی نادر سنگین (HREE) تقریباً 10 برابر غنی‌شدگی نشان می‌دهند. این غنی‌شدگی می‌تواند به دلیل درجات ذوب‌بخشی پایین و یا یک خاستگاه غنی شده از عناصر LREE و ماقماهای وابسته به فرورانش باشد [۱۴] و ویژگی مناطق فرورانش و یا آلایش ماقمایی توسط سنگ‌های پوسته‌ای است [۲۶]. در نمونه‌های مورد بررسی، Pb دارای بیهنجاری مثبت است که بر پایه نظر پیرس [۱۹]، آمیختگی ماقما با پوسته و آبدار بودن پوسته اقیانوسی فرورونده می‌تواند دلیلی بر این غنی‌شدگی باشد. بیهنجاری بسیار جزیی مثبت Eu در نمونه‌ها نشان‌دهنده انباشت پلازیوکلاز است و بیهنجاری مثبت Sr و Ba در نمودار نیز آن را تأیید می‌کند.

به طور کلی داده‌های صحرایی، سنگنگاری و زمین شیمیایی نشان می‌دهند که توده نفوذی منطقه مورد بررسی از نوع آهکی-قلیایی پتاسیم متوسط تا بالای کمان‌های آتشفشنای است. خاستگاه ماقماها در این جایگاه می‌تواند از

- [14] Peccerillo A., Taylor S.R., "Geochemistry of Eocene calc-alkaline volcanic rocks from the Kastamonu area, Northern Turkey", Contrib. Mineral. Petrol. 58 (1976) 63-91.
- [15] Maniar P. D., Piccoli P. M., "Tectonic discriminations of granitoids", Geol. Soc. Amer. Bull. 101 (1989) 635-643.
- [16] Chappell B. W., White A. J. R., "I and S-type granites in the Lachlan Fold Belt, Trans", R. Soc. Edinb. Earth Science 83 (1992) 1-26.
- [17] Boynton N.V., "Cosmochemistry of the rare earth elements, condensation and evaporation processes", In: Lipin, B.R., MacKay, G.A. (Eds.), Geochemistry and Mineralogy of Rare Earths, Mineralogical Society of America: Reviews in Mineralogy 21(1989) 1-24.
- [18] Sun S.S., McDonough W. F., "A chemical and isotopic systematics of oceanic basalts: Implication for mantle composition and processes", Geological Society of London Special Publication 42 (1989) 313 – 345.
- [19] Pearce J.A., "Role of the sub-continental lithosphere in magma genesis at active continental margins", In: Hawkesworth, C.J., Norry, M.J. (Eds.), Continental Basaltsand Mantle Xenoliths. Shiva Publications Ltd, Cheshire, U.K (1983) 230–249.
- [20] Defant M. J., Drummond M. S., "Derivation of some modern arc magmas by melting of young subducted lithosphere", Nature 347 (1990), 662-665.
- [21] Temel A., Gundogdu M.N., Gourgaud A., "petrological and geochemical characteristics of Cenozoic high-K calc-alkaline volcanism in konya, central Anatolia, turkey", J. Volcano, Geoth. Res., 85 (1998) 327-354.
- [22] Fitton J.G., James D., Kempton P.P.D., Ormerod D.S., Leeman W.P., "the role of lithospheric mantle in the generation of late Cenozoic basic magmas in the western united states", Journal of Petrology (1988) 331-349.

مراجع

- [1] Hajibahrami M., Taghipour N., Ghorbani G., "Genesis of the Hamyerd iron deposit, northeastern Semnan: Using fluid inclusions and stable isotopes (S, C, O) studies". Geosciences 25 (2015) 61-70.
- [2] Berberian M., King G.G.P., "Toward the paleogeography and tectonic evolution of Iran", Canadian Journal of Earth Sciences 18(2) (1981) 210-265.
- [3] Hamrah Tolid Co., Exploration report of Hamyerd Fe deposit (2010).
- [4] Hamrah Tolid Co., Geological map Scale 1:5000 of Hamyerd Fe deposit (2011).
- [5] Bucher K., Grapes R., "Petrogenesis of Metamorphic Rocks", Springer-Verlag Berlin Heidelberg (2011) 434P.
- [6] Whitney D.L., Evans B.W., "Abbreviations for names of rock-forming minerals", American Mineralogist 95 (2010) 185-187.
- [7] Haynes D.W., Cross K.C., Bills R.T., Reed M.H, "Olympic Dam ore genesis: A fluid mixing model", Economic Geology 90 (1995) 281-307.
- [8] Ness W.D., "Introduction to mineralogy", Oxford University Press (2000) 442.
- [9] Ramdohr P., "the ore minerals and their intergrowth", Elsevier (1980).
- [10] Velasko F., "Mineralogy and Origin of the skarn from Kala", Economic Geology 76 (1981) 719-727.
- [11] Middlemost E. A. K., "Magma and magmatic rocks, an introduction to igneous petrology", Longman Group U.K (1994) 73-86.
- [12] Streckeisen A., Le Maitre R.W., "A chemical approach to the Modal (QAPF) classification of the igneous rocks", N. J. b. Miner. Abh. 2 (1979) 169-206.
- [13] Irvine T., Baragar W., "A guide to the chemical classification of the common volcanic rocks", Canadian Journal of Earth Sciences 8 (1971) 523–548.

- [26] Nagudi N.O., Koberal C.H., Kurat G., "*petrography and geochemical of the Singo granite Uganda and implications for its origin*", Journal of African earth Science 35 (2003) 55-59.
- [27] Pearce J.A., Harris N.B.W., Tindle A.G., "*Trace element discrimination diagrams for the tectonic interpretation of granitic rocks*", Journal of Petrology 25 (1984) 956-983.
- [23] Muller D., Groves D.I., "*Potasic igneous rocks and associated gold-copper mineralization*", lecture Notes in Earth Sciences 56 (1997) 296P.
- [24] Wilson M., "*Igneous Petrogenesis a global tectonic approach, Department of Earth Sciences, University of Leeds*", London, Unwin Hyman (1989).
- [25] Rollinson H.R., "*Aterranne interpretation of the Archaean Limpopo belt*", Geol. Mag. 130 (1993) 755-765.